

核子-核子散乱Phase Shift の計算

大阪市大 理 野田 松太郎

§1. 序論

現実の核子-核子散乱問題に、Nambu-Salpeter-Bethe 方程式 (N-S-B 方程式) が適用され、数値的に解かれ始めている。その一歩として、核子線の折れ曲がりを見捨て、 $PS(PS)$ 相互作用の ladder 近似の下で、uncoupled equations に対する計算が、elastic region で終わっている。^{1), 2)}

我々の研究は、この π 中間子交換の結果を下にして、核子-核子散乱を、現象論を用いずにどこまで N-S-B 方程式により再現し得るかを、「3-Meson 模型」(π , scalar 及び vector) の立場に立て、統括している。この場合、low-energy の散乱 parameter である scattering length a 及び effective range r_e と、field theoretical に計算し得るので、低エネルギーから高エネルギーまでの統一した記述のために、我々の方法は、特に有効な手段になり得ると思う。³⁾ §2.

において、我々の数値計算のための formalism が与えられ、 π -ladder での計算結果及び、対応する三次元計算⁴⁾ 及び、分散式による計算⁵⁾ との比較が §3. において行なわれる。§4. では、「3-Meson 模型」へのアプローチの一結果が S_0 状態について示され、諸結果が §5. においてまとめられる。

§2. 数値計算の方法

N - S - B 方程式は、全角運動量 (J)、Parity 及び Heisenberg's exchange operator により分類される。⁶⁾ その部分波 N - S - B 方程式は、負エネルギー状態からの寄与の無視で、

$$\varphi(p, p_0) = G(p, p_0; p, 0) + \int_0^{\infty} d\delta \int_{-\infty}^{\infty} d\delta_0 G(p, p_0; \delta, \delta_0) \frac{-i}{2\pi^2} S(\delta, \delta_0; E) \varphi(\delta, \delta_0), \quad (2-1)$$

と、 τ 、2-核子 propagator は、

$$S(\delta, \delta_0; E) = 1 / ((E(\delta) - E - \delta_0 - i\epsilon)(E(\delta) - E + \delta_0 - i\epsilon)). \quad (2-2)$$

p, p_0 及び E は、相対3元運動量、相対エネルギー及び全エネルギーを表わし、on-shell 運動量 p と E は、 $E(p) = \sqrt{p^2 + m^2}$ で結ぶ。 m は核子の質量である。

(2-1)式は、エネルギー分母による singularity を含む。この singularity を消す為めに、相互作用 kernel: G に於ける引算を次式の如く行なう。

$$\varphi'(P, P_0) = G(P, P_0; \hat{P}, 0) + \int_0^\infty d\delta \int_{-\infty}^\infty d\delta_0 \left\{ G(P, P_0; \delta, \delta_0) - \frac{G(P, P_0; \hat{P}, 0) G(\hat{P}, 0; \delta, \delta_0)}{G(\hat{P}, 0; \hat{P}, 0)} \right\} \frac{-i}{2\pi^2} S(\delta, \delta_0; E) \varphi'(\delta, \delta_0) \quad (2-3)$$

(2-3) 式の kernel は energy-shell の singularity を持たず、核中 φ' は、元の核中 φ と次のように結びつく。

$$\varphi'(\hat{P}, 0) = G(\hat{P}, 0; \hat{P}, 0) \quad (2-4)$$

$$\varphi(P, P_0) = \frac{B}{B-I} \varphi'(P, P_0) \quad (2-5)$$

よって、Born 項: B 及び高次補正項: I は

$$B = G(\hat{P}, 0; \hat{P}, 0) \quad (2-6)$$

$$I = \int_0^\infty d\delta \int_{-\infty}^\infty d\delta_0 G(\hat{P}, 0; \delta, \delta_0) \frac{-i}{2\pi^2} S(\delta, \delta_0; E) \varphi'(\delta, \delta_0) \quad (2-7)$$

よって

$$\varphi(P, P_0) = \frac{B}{B-I} \varphi'(P, P_0) \quad (2-8)$$

(2-7) 式の I は、また $S(\delta, \delta_0; E)$ による主値積分を含み、

$$S(\delta, \delta_0; E) = \frac{\mathcal{P}}{2(E(\delta) - E)} \left\{ \frac{1}{E(\delta) - E - \delta_0 - i\epsilon} + \frac{1}{E(\delta) - E + \delta_0 - i\epsilon} \right\} \quad (2-9)$$

この singularity を連続函数の積分に直すため、恒等式、

$$\mathcal{P} \int_0^\infty \frac{1}{\delta^2 - p^2} d\delta = 0 \quad (2-10)$$

を用いる。但し、 p は定数。

即ち

$$F(\delta) = \int_0^\infty d\delta_0 G(\hat{P}, 0; \delta, \delta_0) \frac{-i}{2\pi^2} S(\delta, \delta_0; E) (E(\delta)^2 - E^2) \varphi'(\delta, \delta_0), \quad (2-11)$$

とすると、

$$F(\mathcal{P}) = G(\mathcal{P}, 0; \mathcal{P}, 0) \frac{E}{\pi} \varphi'(\mathcal{P}, 0) = \frac{E}{\pi} \{G(\mathcal{P}, 0; \mathcal{P}, 0)\}^2. \quad (2-12)$$

よって、

$$\begin{aligned} I &= \int_0^{\infty} d\delta \frac{\overset{\mathcal{P}}{}}{E(\delta)^2 - E^2} F(\delta) \\ &= \int_0^{\infty} d\delta \frac{1}{E(\delta)^2 - E^2} \{F(\delta) - F(\mathcal{P})\}. \end{aligned} \quad (2-13)$$

ここで、 φ' へ Wick-rotation を適用し、Gauss 数値積分公式により、連立一次方程式に reduce することによって、散乱 Phase Shift $\tan \delta$ は次ぎのように得られる。

$$\begin{aligned} \tan \delta &= \frac{E}{2\mathcal{P}} \varphi'(\mathcal{P}, 0) \\ &= \frac{E}{2\mathcal{P}} \frac{B^2}{B - I} \end{aligned} \quad (2-14)$$

又、積分範囲は、 δ 及び δ_4 (Wick rotation により、 $\delta_0 \rightarrow i\delta_4$) の両方について、 $0 \sim \infty$ であるので、 $-1 \sim 1$ の Gauss 積分の点 u, v より次ぎの変換により $0 \sim \infty$ の積分にする。

$$\delta = \frac{1+u}{1-u} \delta_m, \quad \delta_4 = \frac{1+v}{1-v} \delta_{4m}. \quad (2-15)$$

ここで、 δ_m 及び δ_{4m} は常数である。(積分範囲の中心) より、くわしくは参考文献 1) 参照。

§ 3. π -中間子交換による数値結果 1), 2)

i). Singlet Even State

π -ladder における 1S_0 , 1D_2 状態の散乱 phase shift が

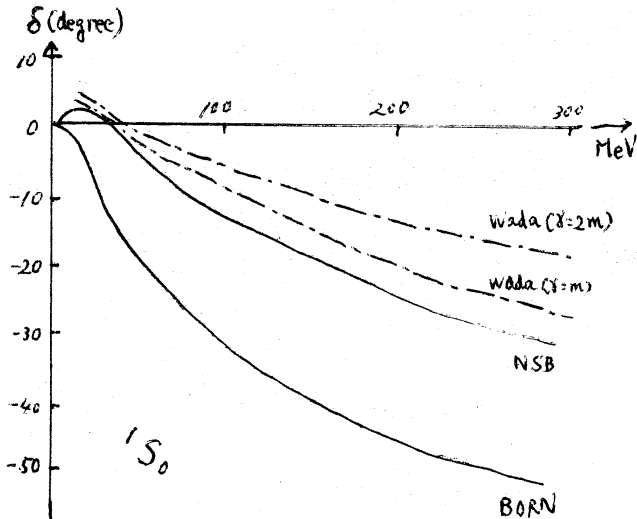


図 1-1

限を核子の質量 (m) に取るか、その 2 倍に取るかで、かなり

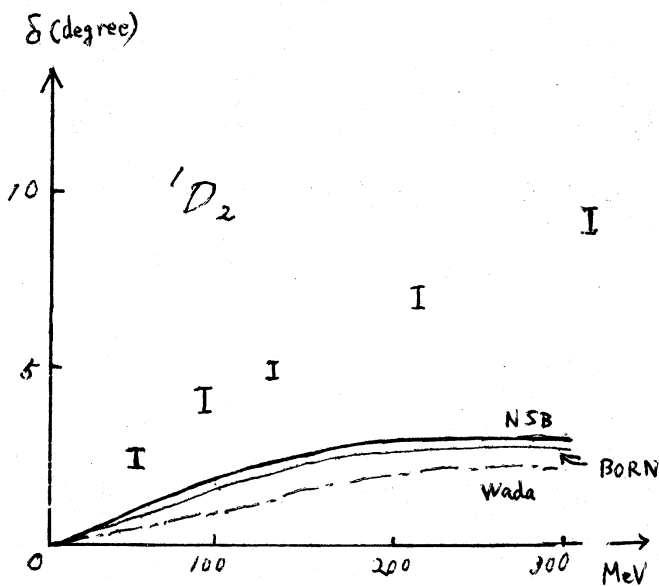


図 1-2

図 1-1 及び 図 1-2 に示
わされている。我々
の結果は実線 (NSB)
であり、対応する三次
元計算の結果が破線で
示されている。

1S_0 状態において、三
次元計算は、積分の上
限を核子の質量 (m) に取るか、その 2 倍に取るかで、かなり
の差を生ずる。上限
(r) が $2m$ よりも大き
くなると、わずかに
あるが、さらに解は
「BORN」より離れてゆ
く。これに反して我々
の積分 (cut-off 無し)
に、もし cut-off する
ならば、逆に「BORN」

に近づいて来ようことが図1-1より容易にわかる。即ち、我々の結果と対応する三次元計算の結果は、定性的には同じように振る舞うが、定量的には、definiteな差を持つ。これは、本来変数であるべき相対エネルギーを三次元計算においては、F-S-T type で fix してしまっているからであり、retardation の効果を不完全に計算しているのに反し、N-S-Bの解では、retardation を十分に考慮しているからである。

一方、 $'D_2$ 状態においては、retardation 効果は小さいということがわかる。さらに、 $'D_2$ 状態の結果は分散式の結果とも似ている^{*}が、 $'S_0$ 状態では、分散式の方で現象論的パラメーターの使用がなければ計算し得ないので、直接の比較は出来ない。

このことは、 $'D_2$ 状態においては、ボルン近似が非常に良い近似になっているのに反して、 $'S_0$ 状態のボルン近似はあまり良くなく、実際のN-S-Bの解とボルン近似での phase shift とが、かなり違っていることの \sim の反映となっている。

なお、phase shift analysis の解(縦線)とは、両状態共に大きく違い、引力が不足している。

*) 吉市 進氏の御指摘による。

ii), Triplet Odd State.

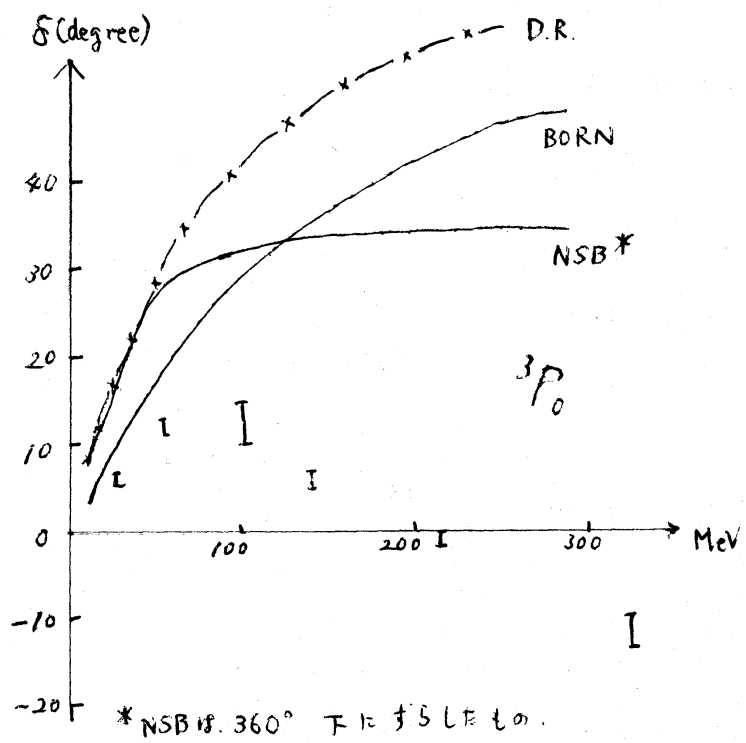


図 2-1

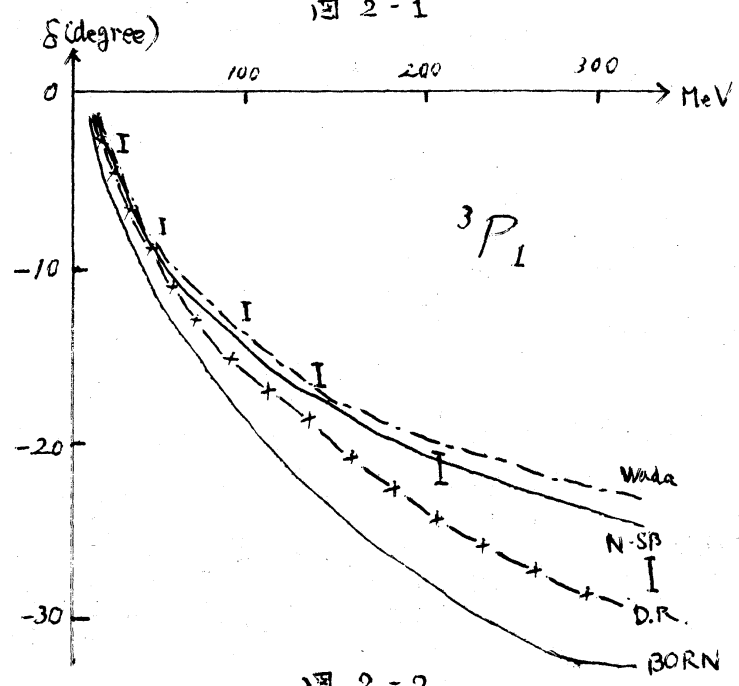


図 2-2

3O の核力から、こ
こでは、 $^3P_0, ^3P_1, ^3P_2$
の各状態を見る。

図 2-1 には、 3P_0 状
態の phase shift が、
分散式の結果 (x) と
共に示されている。

(NSB の解は、本来
 360° から出発するし
の「水」) 詳しい
議論を後に行うが
、こゝでは 2 つ
の束縛状態を持つ。

図 2-2 には、対応
する分散式及び三次
元計算と共に 3P_1 -
状態の結果が示され
ている。これら
色々の方法での結果

は、良く一致しており、ボルン近似も目安に悪いとは言えない。
 7。

又、図示されている方が、 3F_2 状態との mixing を無視した 3P_2 状態の phase shift も、ボルン近似と近く、 3F_2 mixing を考慮した分散式の結果ともよく一致している。これは

$^3P_2 - ^3F_2$ mixing parameter:

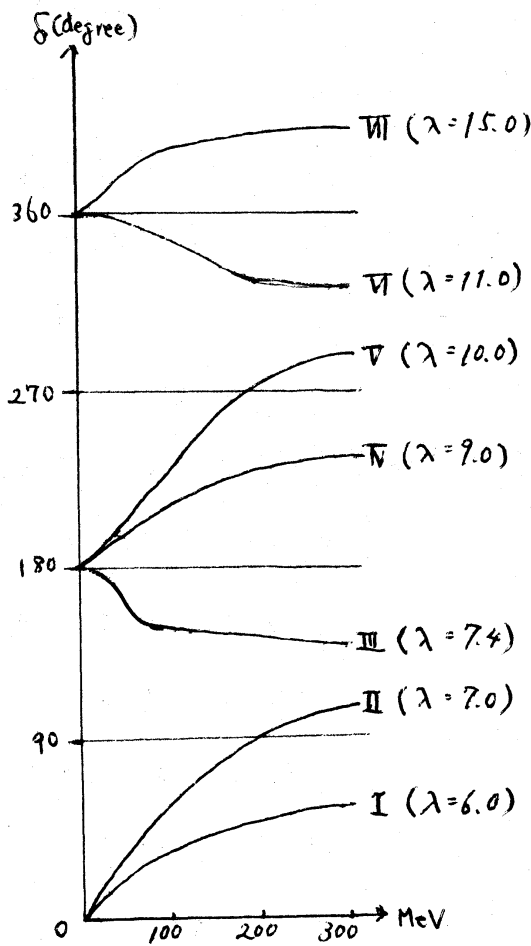


図 3

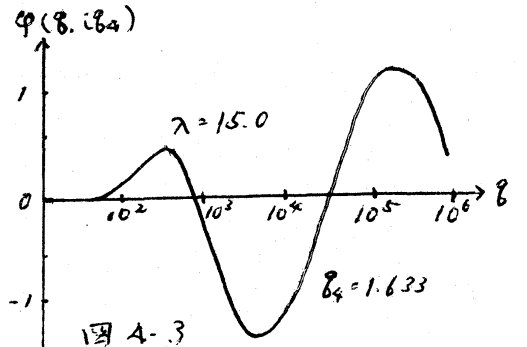


図 4-3

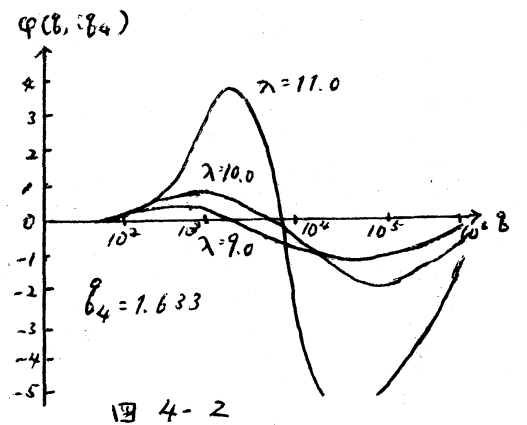


図 4-2

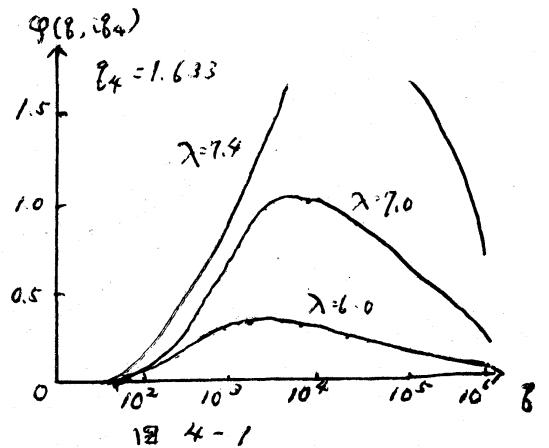


図 4-1

ϵ_2 の小さくと共に、我々の解が妥当であり、ボルン近似の良さが、分散式との一致性を意味するという考えを否定した。

図3.には、 3P_0 phase shift の πN 結合常数 λ への依存性が示されている。($\lambda = g^2/4\pi$) 又、 λ の各々の値 λ に対する 3P_0 状態の波動函数 $\varphi(\beta, i\beta_4)$ の三元運動量 (β) 依存性が、図4-1, -2, -3 に書かれている。即ち、図2-1の NSB phase shift は、図3の Case III に相当し、その波動函数が図4-3に示されている。図3で、小さな引力が I に表われ、散乱 phase shift は II で 90° を横切る。即ち、共鳴状態が表われ、 λ の増加と共に引力はより大きくなり、III で束縛状態を作くる。この間の波動函数が図4-1であり、I \rightarrow III と共に $\varphi(\beta, i\beta_4)$ は大きくなる。(2-7)、(2-11)、(2-13)、(2-14) 式等より容易に、 $\varphi(\beta, i\beta_4)$ の増加と、 $\tan\delta$ の零への移行、束縛状態の出現が理解しうる。IV において、波動函数は、その振舞いと、図4-2 の通り変える。この波動函数の形 (IV \rightarrow V) は再び大きくなり、引力の増加をしたらし、V で第一の共鳴状態を、VI で第二の束縛状態を形成する。

N-S-B 方程式を解いて、 3P_0 状態には、このように2つの二核子系束縛状態が存在することになるが、対応する分散式

の計算では束縛状態は表われない。このことは、二つのスカラー-核子間相互作用のスカラー-粒子が交換する模型において、K. V. Vasavadaが行なった分散式(N/Dの方法)と、N-S-B方程式の結果の比較と矛盾しない⁷⁾。この場合、強い引力の時は、N-S-B phase shiftはN/Dの解より、はるかに大きくなっており、その因は、多粒子交換(2粒子以上)によるleft-hand cutからの寄与が、N/Dでは無視されるのに反して、N-S-Bにおいてはladder typeのみは含まれているという点にある。

又、実際の核子-核子系には、重陽子(${}^3S_1 + {}^3D_1$)以外には、束縛状態は見い出されておかないので、 π -ladder以外の機構を導入することによって、現在出ている束縛状態を消去し、phase shift analysisの解と合わせねばならぬであろう。

iii) Triplet Even State

3E の核力として考えうるのは、 3S_1 , 3D_1 , 3D_2 及び 3D_3 の各状態である。しかし、 3D_2 以外の状態は全て他の状態と混じり合っている—— ${}^3S_1 + {}^3D_1$, ${}^3D_3 + {}^3G_3$ ——ので、詳しい議論は、行ない得ない。特に 3S_1 , 3D_1 の混じり合う2つの状態(重陽子状態)は、共にNSB phase shift

が、Born phase shift から、かなり離れており、色々な効果が効いてくるものと思われる。但し、対応する三次元計算等がないため、比較は不可能であり、かつ、 3S_1 phase shift は、用いている近似の下では、全く 1S_0 phase shift と同じになる。さらに、 3S_1 , 3D_1 両状態とも斥力が主に効くようになっているため、元中向子交換の ladder 近似のみでは、重陽子束縛状態を示めし得ないのではないかと思われる。

3D_3 状態では、ボルの近似が良い近似になっているが、これも詳しい議論は coupled equation を解いてからになる。

一方、 3D_2 状態については、図5に示めされる通り、対応する三次元計算との比較がなされ得る。NSB phase shift は、ボルの phase shift とかなり違っており、当然、retardation の効果の取り扱いによる差が期待され、それが積分の上限の二通りの三次元計算における取り方—— $\gamma = m$ 及び $\gamma = 2m$ ——の結果での差により、 1S_0 状態と全く同じ議論が、図5から行ない得る。さらに、三次元計算では、meson-propagator へ Feynman-cut: R を導入したものが有り、丸印のきの線(—○—)で図5に示めされている。この Feynman-cut を用いた結果は我々のものと似かよってくる。このことは、retardation の効果が、Feynman-cut による

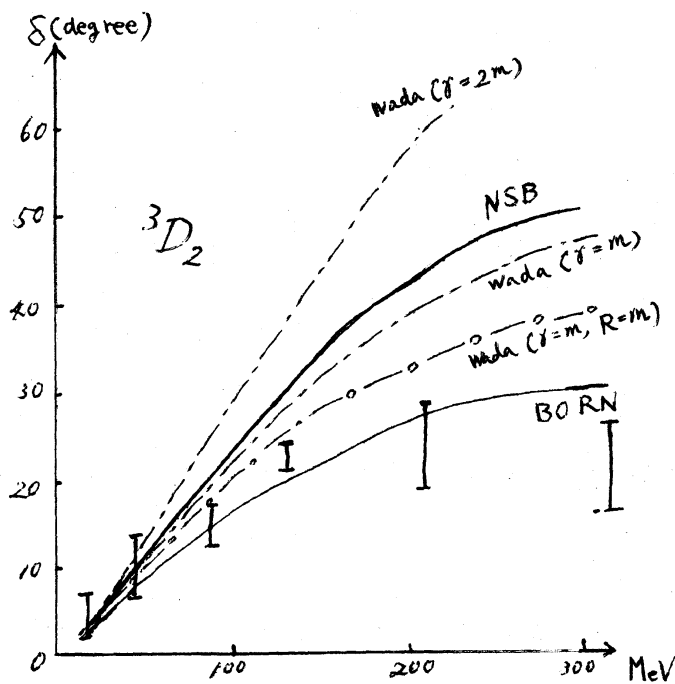


図 5

効果と似た寄与を有
 えることを示めて
 いる。

高エネルギーの振
 舞いで、NSB phase
 shift と phase shift
 analysis の解を再現
 する事は出来ない。

iv). Singlet Odd State

ここで、 1O 状
 態の核力として 1P_1
 状態のみを見る。

NSBの結果は、ボ
 ルン近似のものと、
 そろそろ変わらな
 いか、三次元計算の
 結果と200 MeV 以
 上では、定量的な差
 を産んでくる。今ま
 の慣

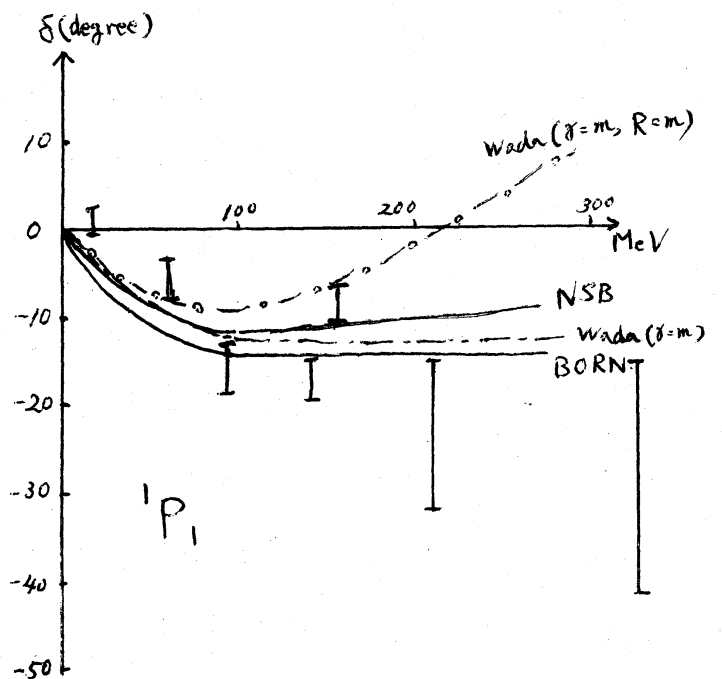


図 6

例とは違つた意味において、この差を、やはり retardation の効果によるものとする。即ち、 1S_0 , 3D_2 状態における retardation の効果は、phase shift をボルン phase shift に近づける効果をしたが、 1P_1 状態では、それが逆にボルン phase shift から遠ざける効果をしている。これを retardation とする因は、三次元計算が、ほとんど cut-off 依存性を持たぬからである。又、 1S_0 , 3D_2 等と同じく、こゝでも retardation の効果は、三次元計算での meson-propagator への Feynman-cut (R) と等しい効果と同じような寄与を与えている。

§4 3-中間子模型

我々は、§3.において phase shift analysis の解を再現する為には、 π 中間子交換の ladder 近似(かつ、真エネルギー状態からの寄与を無視する近似)だけでは不十分であり、他の機構を考える事の必要性を見た。その試みの中の一つとして、場の理論的に核子-核子問題を解くために、擬スカラー以外の相互作用でかつ、くりこみ可能なものを考えると、スカラー及びベクトル相互作用がある。(ベクトル中間子のベクトル相互作用では、核子-核子 0 spin 状態として、 $T=1$ のみと考えるので、発散の困難はない)。この3

種の間接子交換 (phase shift analysis) の解を求める立場を「3-中間子模型」と名付ける。又、その第一歩として、「3-中間子模型」を 1S_0 状態に適用してゆく。「3-

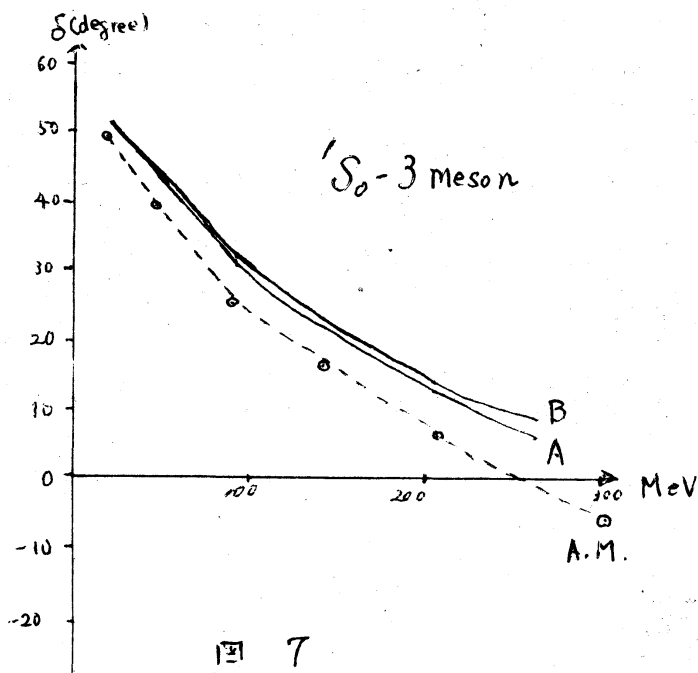


図 7

中間子模型」と現象論を押し進めるために、 π -中間子の質量 ($m_\pi = 135.0 \text{ MeV}$) 及び結合定数 ($g_\pi^2/4\pi = 14.4$) 以外のパラメーターであるスカラー及びベクトル

中間子の質量 (m_s 及び m_v)、結合定数 ($g_s^2/4\pi$ 、 $g_v^2/4\pi$) の決定をしなければならぬ。未知パラメーターの中、 m_s と $g_s^2/4\pi$ 及び m_v と $g_v^2/4\pi$ は各々相互に関連を持って、未定の変数は2種であり、低エネルギー散乱パラメーターの scattering length α と effective range r_e の2つから、その組みと見出す事が出来る。 r_e は N-S-B 方程式の zero energy 波動函数から導く事が出来る³⁾ ので、我々は α と r_e を合わせたパラメーターの組みを求め得、それらで有限エネルギーの phase shift を合わせた作業を行う。

。 図7には、その極く一例として、 π -中子以外に次ぎの数值を取ったグラフがそれぞれ A, B として描かれている。

$$A: \quad m_v = 620.0 \text{ MeV} \quad g_v^2/4\pi = 4.0$$

$$m_s = 475.2 \text{ MeV} \quad g_s^2/4\pi = 4.15$$

$$B: \quad m_v = 620.0 \text{ MeV} \quad g_v^2/4\pi = 2.0$$

$$m_s = 432.0 \text{ MeV} \quad g_s^2/4\pi = 2.56$$

2. 「A・M」の点線は phase shift analysis の解の一つである。⁸⁾ A, B は共にエネルギー増加と共に斥力不足により phase shift analysis の解を再現しないが、ベクトル中子の結合常数の増加で「A・M」に近づいているので、いまだ、「3-中子模型」のみ立場は否定的であるとも云えない。本当に「3-中子模型」のみでいいのか、又はこれだけでは悪く、一種の現象論を加えることが要求されるのか、という問題は、今后に待たねばならない。

§5 ま と め

以上、核子-核子散乱を elastic region において、次ぎの近似のもとに見てきた。

- 1) PS(ps) 相互作用の ladder 近似
- 2) 負エネルギー状態からの寄与無視
- 3) 状態の mixing 無視

各状態の phase shift の Born phase shift からのズレは、
 大きさには 4 つに分類される。

図 8 の如く、

$$\alpha = \frac{\text{Min}[|\delta|, |\delta^{\text{BORN}}|]}{\text{Max}[|\delta|, |\delta^{\text{BORN}}|]}$$

を用いると明らかかなように、

Born とのズレの大きさが

最大 (3P_0)、大 (${}^1S_0, {}^3S_1$ 及

び 3D_2)、中 (${}^1P_1, {}^3P_1$ 及び 3D_1)

そして 小 (${}^3P_2, {}^1D_2, {}^3D_3$) と分類される。

このズレの因として、考えられる大きな因子は、(7.7') により $T=1$ と $T=0$ の 3 倍になる iso spin、及び遠心力に依り、全角運動量、そして相互作用が引力か、斥力か、という要素である。

これらの因子より、isospin については、 $T=1$ に対して * 印を、 $T=0$ に 0 印を、又 全角運動量について '00' を $J=0$ に、'0' を $J=1$ に、'*' を $J=2$ に当てはめる。さらに相互作用が引力か斥力かに依り、引力 (A) の場合に 0 印、斥力 (R) の場合に * 印を書き、これらの 0 印の数を σ として表わしたものが、次ページに他の、既に議論された物理量との関係をも含んで書かれている。Born との差の大小関係と σ の大小関係は、ほぼ対応する事がわかる。

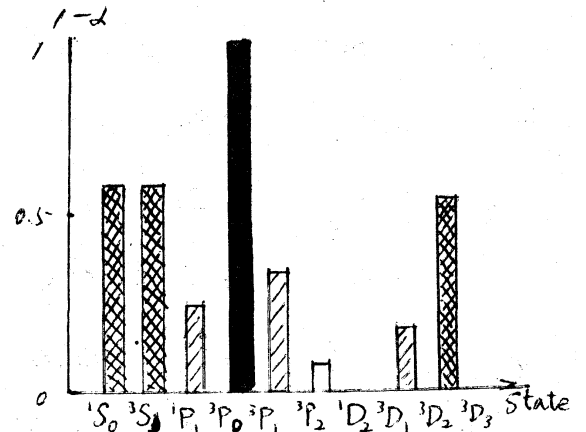


図 8

状態	J	T	A or R	σ	Born と の差	3次元計算 との差	分散式計算 との差
1S_0	00	*	*	2	大	有	/
3P_0	00	*	0	3	最大	/	有 (bound state)
3S_1	0	0	*	2	大	/	/
1P_1	0	0	*	2	中	有	/
3P_1	0	*	*	1	中	無	無
3D_1	0	0	*	2	中	/	/
3P_2	*	*	0	1	小	/	無
1D_2	*	*	0	1	小	無	(無)
3D_2	*	0	0	2	大	有	/
3D_3	*	0	*	1	小	/	/

さらに、3次元計算との差 (retardation)、及び分散式の計算との差 (多粒子交換の left-hand cut からの寄与の計算の差 — many particle exchange effect) の有無は、まさに σ の値によることが見られる。J, T, A or R は、状態の分類と Born phase shift の計算のみで F-部分波以上の高い波についても容易にわかるので、NSB phase shift をどの部分波まで求めてゆけばよいか、 σ の計算でわかるようになる。

次の段階として、「3-中間子模型」が、どのように考えられるか——核子-核子散乱が elastic region では、これのみで記述されるか、あるいは何人らかの現象論が必要なのか——、又 coupled equation の計算をどう行なってゆくか、さらに $N-S-B$ 方程式の特徴の一つとして、「負エネルギー状態」からの寄与がどの程度あるのか等々を見てゆき、それと共に核子-核子束縛状態の計算も実行に移してゆかねばならない。

なお、本研究は、室田 敏行（北九 理）、田中 富士男（奈良高専）と筆者による共同研究であり、それを筆者がまとめたものであります。

参 考 文 献

- 1) T. Murota, M.T. Noda and F. Tanaka, Prog. Theor. Phys. 41 (1969), No. 5.
- 2) M.T. Noda, Prog. Theor. Phys. submitted.
- 3) M. Mizouchi, T. Murota and M.T. Noda,

- Prog. Theor. Phys. 40 ('68), 1079.
- 4). M. Wada, Prog. Theor. Phys. 37 ('67), 763.
M. Wada, Prog. Theor. Phys. 41 ('69), 105.
- 5). S. Furuichi, Prog. Theor. Phys. 27 ('62), 51.
S. Furuichi, Prog. Theor. Phys. 29 ('63), 235.
- 6). H. Ito, M. Mizouchi, T. Murota, T. Nakano,
M. T. Noda and F. Tanaka,
Prog. Theor. Phys. 37 ('67), 372.
- 7). K. V. Vasavada, Phys. Rev. 165 ('68), 1830.
- 8). R. A. Arndt and M. H. MacGregor,
Phys. Rev. 141 ('66), 873.